

РОЗРОБКА ТА ДОСЛІДЖЕННЯ МЕХАНІЗМІВ ГОЛКИ КРАЄОБМЕТУВАЛЬНИХ ШВЕЙНИХ МАШИН

В.А. ГОРОБЕЦЬ, О.П. МАНОЙЛЕНКО

Київський національний університет технологій та дизайну

Повідомлення 1

В роботі розглянута структура нових розроблених авторами механізмів голки краєобметувальних швейних машин, та проведений порівняний аналіз цих механізмів за функціональними та динамічними критеріями на основі їх кінематичного та силового аналізу

Об'єкти та методи дослідження

В краєобметувальних швейних машинах широко застосовується семиланковий плоский механізм голки (рис. 1 а). Зокрема така структура механізму голки має місце в швейних машинах фірми «Juki» Японія, фірми «Rimoldi», машинах Ростовського заводу легкого машинобудування тощо. Основною перевагою вказаного механізму є незначна маса веденої ланки (голковода), що знижує динамічні навантаження в кінематичних парах механізму порівняно з аналогічними механізмами, що мають голковод у вигляді масивного стержня. Однак даний механізм має також суттєві недоліки.

Головним з них є те, що за формулою Сомова-Чебишева цей механізм має нульовий ступінь вільності W .

$$W = 3(n - 1) - 5p_5 - p_4 = 3(7 - 1) - 2 \cdot 9 - 0 = 0$$

де: n – число ланок

P_4 та P_5 – відповідно число кінематичних пар 4 та 5 класу

Іншими словами, теоретично даний механізм непрацездатний. Він може працювати тільки в тому випадку, коли кінематична пара повзун 6 – стійка 0 буде 4 класу, тобто голковод 6 буде рухатись по шатунній кривій.

$$W = 3(7 - 1) - 2 \cdot 8 - 1 \cdot 1 = 1$$

З іншого боку даний механізм відноситься до сімейства напрямних механізмів Чебишева, в яких траекторія веденої ланки (точки Е) це шатунна крива, яка при відповідному співвідношенні розмірів ланок дуже наближена до прямої лінії. Тому вимоги до точності розмірів ланок при їх розрахунку і виготовленні дуже високі, що, в результаті, знижує економічність механізму.

Другим недоліком цього механізму є те, що навіть правильно розраховані та

отримані при виготовленні розміри його ланок внаслідок природних процесів старіння та зношення постійно змінюються, що впливає на форму траекторії голковода і приводить до прискореного зносу його та напрямної.

Постановка завдання

Виходячи з вищесказаного, задачею дослідження є розробка конструкції нових механізмів голки краєобметувальних машин, які б усували б перелічені недоліки, тобто забезпечувала вищі: технологічність, довговічність та ремонтопридатність конструкції, а також проведення порівняльної оцінки відомого та запропонованих технічних рішень за динамічними критеріями.

Об'єкти та методи дослідження

Об'єктом дослідження є механізми голки конкретної швейної машини краєобметувального ланцюгового стібка. Методами дослідження є відомі методики визначення кінематичних та динамічних характеристик в кінематичних парах.

Результати та їх обговорення

Авторами розроблено 5 нових структур механізмів голки [1–5], які забезпечують прямолінійну траекторію голковода і таким чином усувають вищевказані недоліки. Схеми вказаних механізмів приведені на рис. 1, а–е.

Перший механізм M1 (рис. 1б) відрізняється від базового тим, що тричленний шатун DCE виготовлений з двох частин, з'єднаних між собою поступального кінематичною парою. Незважаючи на формальне збільшення числа ланок до 8, їх загальна маса практично не збільшилась, але зате це розвантажило кінематичну пару голковод-напрямна.

Схожий за структурою і механізм M2 (рис. 1в). В цьому механізмі кінець тричленного шатуна DCE виконаний вилкуватим і з'єднаний поступальною кінематичною парою з кулісою O₃B. В механізмах M3 та M4 передача між голковими та верхнім валами виконана в вигляді зубчасто-пасової передачі, що дозволяє усунути шарнірний чотирьохланковик O₁ABC з неврівноваженими рухомими масами і суттєво знизити динамічні навантаження. Оскільки масивне коромисло O₃D в механізмах M3 та M4 замінюється на легкий повзун A, то це ще додатково зменшує неврівноважену масу рухомих ланок і зменшує навантаження в кінематичних парах. З'єднання куліси O₃B з голководом в механізмах M3 і M4 виконано аналогічно механізмам M1 та M2.

Для порівняльного аналізу механізмів визначимо функції положення голковода вищеназваних механізмів. Позначення параметрів механізмів приведені в таблиці 1, а розрахункові схеми механізмів приведені на рис 2.

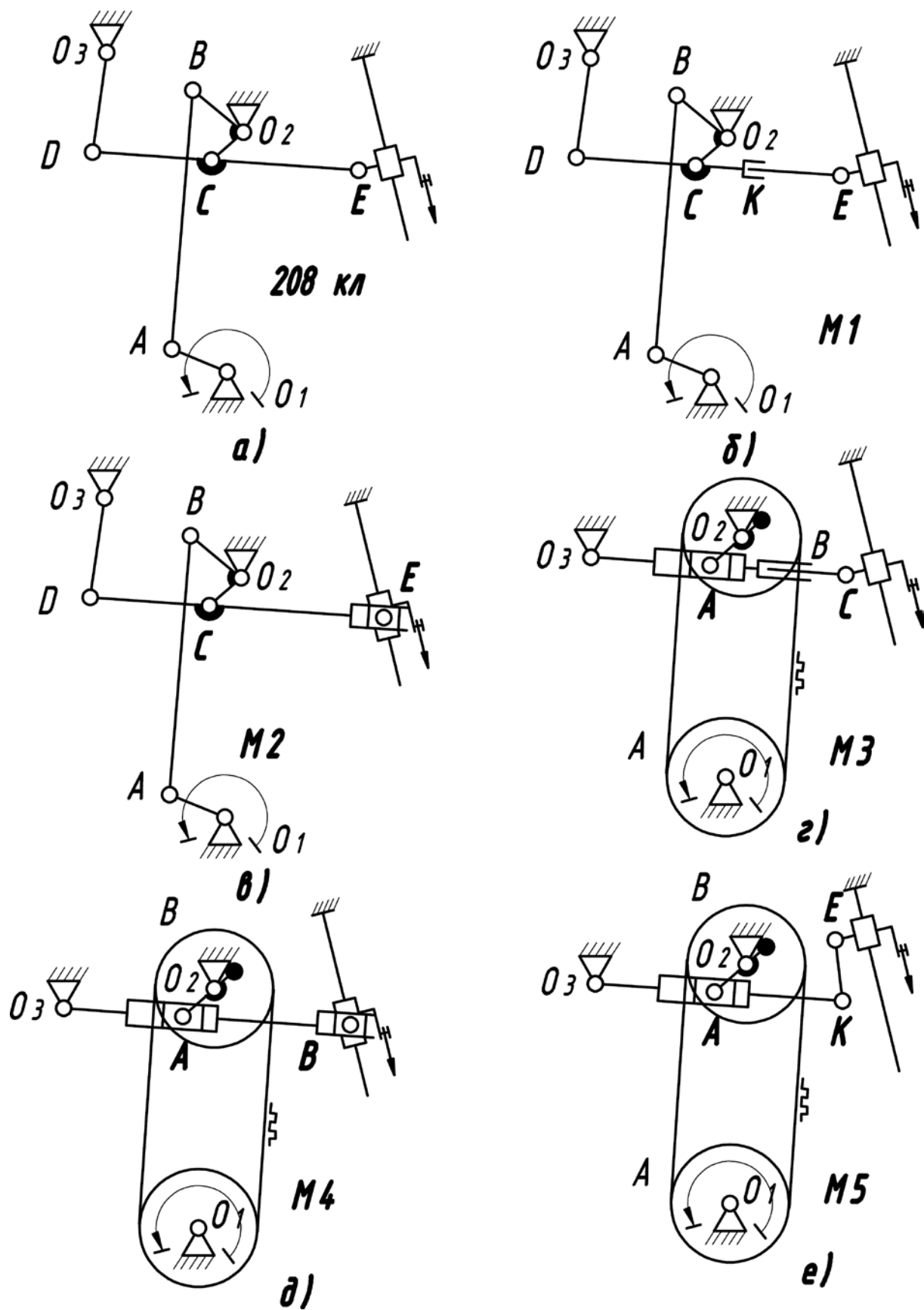


Рис. 1. Кінематичні схеми механізмів голки краєобметувальної швейної машини

Таблиця 1

Позначення параметра	Назва параметра	Наявність параметрів в механізмі					
		208кл	M1	M2	M3	M4	M5
a	Кривошип	+	+	+	+	+	+
b	Шатун АВ	+	+	+	-	-	-
c	Коромисло O_2B	+	+	+	-	-	-
d	Стійка O_1O_2	+	+	+	+	+	+
α	Кут між стійкою O_1O_2 та ординатою	+	+	+	+	+	+
β	Кут між коромислами ($\angle BO_2C$)	+	+	+	-	-	-
γ	Кут між абсцисою та стійкою O_2O_3	+	+	+	+	+	+
ν	Кут між ординатою та напрямною	+	+	+	+	+	+
κ	Стійка O_2O_3	+	+	+	+	+	+
t	Коромисло O_3D	+	+	+	-	-	-
	Частини шатуна DCE або куліси O_3AB DC чи ОА CE чи AB						
m		+	+	+	+	+	+
n		+	+	+	+	+	+
	Координати опори O_3	+	+	+	+	+	+
y_{03}		+	+	+	+	+	+
x_{03}		+	+	+	+	+	+
p	Коромисло O_2C	+	+	+	-	-	-
l	З'єднувальна ланка АВ	-	-	-	-	-	+
x_n	Координати початку напрямної	-	-	-	-	-	+

Запишемо функцію положення голковода базового механізму голки 208 кл в вигляді координат шатунної кривої на основі рівнянь [6] відповідно до рис 2а;

$$\begin{aligned}
 X_E &= n \cos \tau - p \cos(\psi + \beta) \\
 Y_E &= (Y_{O_3} - \alpha \cos \alpha) - t \cos(\theta + \gamma) + (n + m) \sin \tau \\
 \text{де } \tau &= \arcsin\left(\frac{c \sin \psi + t \cos(\theta + \gamma) - x_{O_3}}{m}\right) \\
 \theta &= \arcsin\frac{A_2 A_3 + A_1 \sqrt{A_1^2 + A_2^2 - A_3^2}}{A_1^2 + A_2^2} \\
 A_1 &= 2t(k - p) \cos(\psi) \\
 A_2 &= 2pt \sin(\psi)
 \end{aligned}$$

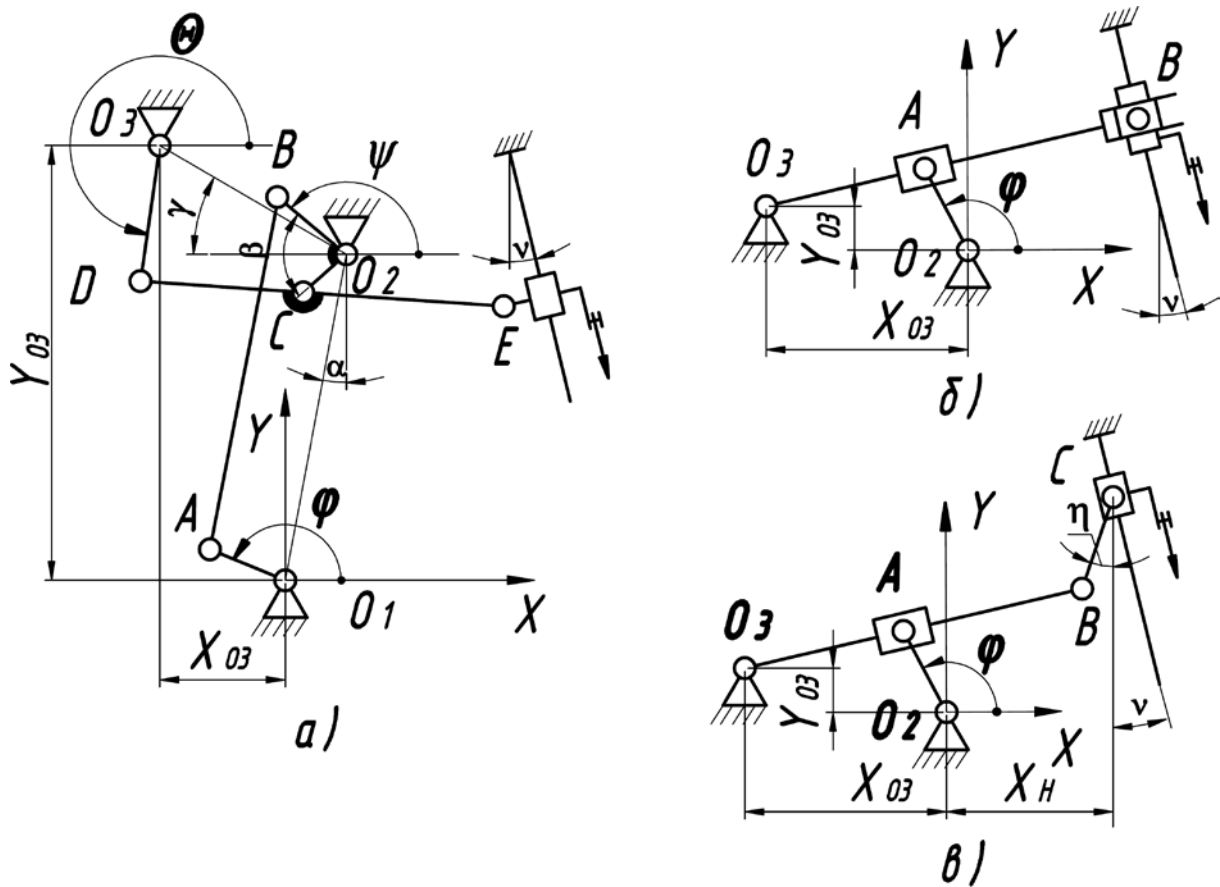


Рис. 2. Розрахункові схеми механізмів голки

$$\begin{aligned}
 A_3 &= 2pt \cos(\psi) - k^2 - p^2 - t^2 - m^2 \\
 \psi &= \arcsin \frac{-B_2 B_3 - B_1 \sqrt{B_1^2 + B_2^2 - B_3^2}}{B_1 + B_2} + \alpha \\
 B_1 &= 2 \arccos(\gamma) \\
 B_2 &= 2c(a \sin \gamma - \alpha) \\
 B_3 &= b^2 - a^2 - c^2 - \alpha^2 + 2ad \sin(\gamma)
 \end{aligned}$$

Тоді функція переміщення голко вода по напрямній

$$S_{208}(\varphi) = \frac{Y_E}{\cos(v)} \quad (1)$$

З достатньою для практики точністю, оскільки довжина шатуна DCE змінюється тільки на величину X (тобто на десяті далі міліметра), функцією положення механізмів M1 та M2 можна вважати вираз 1

$$\text{Тобто } S_{208}(\varphi) = S_{M1}(\varphi) = S_{M2}(\varphi)$$

Функції положення голковода для механізмів М3 та М4 запишемо з очевидних геометричних співвідношень (рис. 2б)

$$S(\varphi)_{M3} = S(\varphi)_{M4} = \frac{(m+n)(a \sin \varphi - Y_{O3})}{\cos v(m - a \cos \varphi)}, \quad (2)$$

При цьому змінну величину куліси АВ = n визначимо з виразу (2)

$$n = n_0 \left(\frac{1 - \sqrt{1 - \left(\frac{a \sin \varphi + v_{03}}{m - a \cos \varphi} \right)}}{\cos(v)} \right)$$

де n_0 – довжина частини куліси АВ при знаходженні точки В на лінії напрямної

Нарешті функцію точки положення голковода механізму М5 запишемо, використовуючи функцію положення механізма М4 (рис. 2б). Параметр n в даному механізмі має постійне значення

$$S(\varphi)_{M5} = S(\varphi)_{M4} + l[1 - \cos(\eta + v)]$$

$$\text{де } \eta = \arcsin \frac{x_H - x_{O3} - (m-n) \sqrt{1 - \left(\frac{a \sin \varphi + Y_{O3}}{m + n - a \cos \varphi} \right)}}{l}$$

Отримані залежності будуть в подальшому використані для порівняльного аналізу механізмів, що досліджуються

ЛІТЕРАТУРА

1. Заявка У. 2012 02724 приоритет від 06.03.12
2. Заявка У. 2012 02725 приоритет від 06.03.12
3. Заявка У. 2012 02726 приоритет від 06.03.12
4. Заявка У. 2012 02727 приоритет від 06.03.12
5. Заявка У. 2012 02728 приоритет від 06.03.12
6. Полухин В.П. «Проектирование механизмов швейно-обметочных машин»

М. Машиностроения 1972.